

# REPORT

## IEEE Code of Ethics

(출처: <http://www.ieee.org>)

We, the members of the IEEE, in recognition of the importance of our technologies in affecting the quality of life throughout the world, and in accepting a personal obligation to our profession, its members and the communities we serve, do hereby commit ourselves to the highest ethical and professional conduct and agree:

1. to accept responsibility in making decisions consistent with the safety, health and welfare of the public, and to disclose promptly factors that might endanger the public or the environment;
2. to avoid real or perceived conflicts of interest whenever possible, and to disclose them to affected parties when they do exist;
3. to be honest and realistic in stating claims or estimates based on available data;
4. to reject bribery in all its forms;
5. to improve the understanding of technology, its appropriate application, and potential consequences;
6. to maintain and improve our technical competence and to undertake technological tasks for others only if qualified by training or experience, or after full disclosure of pertinent limitations;
7. to seek, accept, and offer honest criticism of technical work, to acknowledge and correct errors, and to credit properly the contributions of others;
8. to treat fairly all persons regardless of such factors as race, religion, gender, disability, age, or national origin;
9. to avoid injuring others, their property, reputation, or employment by false or malicious action;
10. to assist colleagues and co-workers in their professional development and to support them in following this code of ethics.

위 IEEE 윤리헌장 정신에 입각하여 report를 작성하였음을 서약합니다.

<7주차 예비보고서>

학 부: 전자공학과

제출일: 2020.04.19

과목명: 기초전기실험

교수명: 구형일 교수님

분 반: 7

학 번: 202021025

성 명: 안준영

## [1] 실험이론

## 1. 축전기의 충전

아래 그림과 같은 회로에서, 스위치가 열려있으면( $t=0$ ) 축전기에 걸리는 전압은 0V이고 전류또한 0A이다. 하지만 스위치를 닫아서 전원과 연결해주면 윗판에는 +전하, 아랫판에는 -전하가 배치되는 형태로 충전되기 시작한다. 축전기 판에 전하가 쌓이면 쌓일수록, 축전기 양단에 걸리는 전압의 증가 속도가 감소하게 된다. 축전기에 걸리는 전압이 공급 전압과 같아지면, 판에 쌓인 전하  $Q = Cv_C = CE$ 이다. 이때까지의 시간을 transient period라고 부른다.  $5\tau$  후에, 축전기 양단의 전압은 공급 전압과 같다.

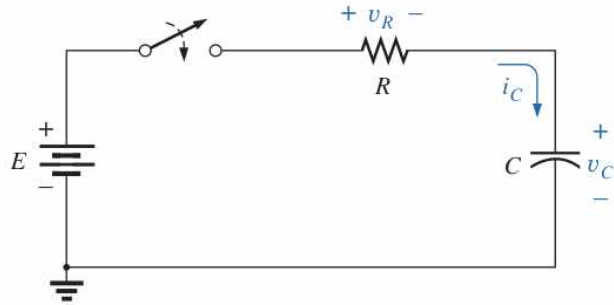


FIG. 10.26

Basic R-C charging network.

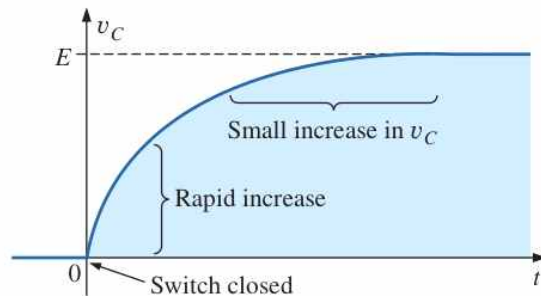


FIG. 10.27

 $v_C$  during the charging phase.

축전기 양단의 전압은  $v_C = E(1 - e^{-t/\tau}) V$ , 전류는  $i_C = \frac{E}{R}e^{-t/\tau} (A)$ 이다. 여기서  $R$ 은 등가저항을 의미한다. 즉, 위의

Fig 10.26과 같이 저항과 축전기가 직렬로 연결된 상태에서 위의 두 식이 성립한다. 축전기를 흐르는 전류는 시간상수의 5배가 지난 후부터는 반드시 0이 된다. 즉, 축전기를 제거한 오픈 회로로 보아도 된다. 충전 중, 전압과 전류의 변화는 첫 시간 상수 동안 가장 크다. 스위치가 닫힌 바로 후, 축전기는 쇼트된 회로로 보아도 된다.

위의 그림의 회로에서, 직렬로 연결된 저항의 양단의 전압은,  $v_R = Ee^{-t/\tau} (V)$ 이다.

## [2] 실험장비

1. 저항 ( $100 k\Omega - 2, 47 k\Omega$ )
2. 축전기 ( $100\mu F - 2,220\mu F$ )
3. DMM
4. dc Power Supply

## &lt;Part 2&gt; Charging Network (Series Capacitors)

## [3] 실험방법 및 예상결과

## 실험방법

- (a) Fig. 16.2와 같이 회로를 구성하고, 각 저항과 커패시턴스를 측정하여 기록한다.

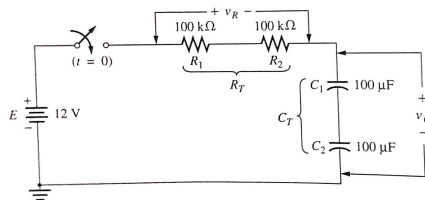


FIG. 16.2

- (b) 총 저항 및 총 커패시턴스를 Table 16.4에 기록한다.

- (c) 시간상수를 계산하여 Table 16.4에 기록한다.

- (d) 시간상수의 5배를 계산하여 Table 16.4에 기록한다.

- (e) 0s부터 100s까지 Table 16.5의 시간 간격마다 직렬로 연결된 두 축전기에 걸리는 총 전압을 측정한다.  $v_R = E - v_C$ 로 저항에 걸리는 전압을 계산한다.

- (f)  $v_C - t$ ,  $v_R - t$  그래프를 Graph 16.2에 그린다.

- (g)  $1\tau$  후에  $v_C$ 를 Table 16.6에 기록한다.

(h)  $5\tau$  후에  $v_C$ 를 Table 16.6에 기록한다.

(i) 커패시터가 충전되는 단계에서의  $v_R$ 을 표현하는 수식을 작성한다. 이 수식으로  $v_R$ 이 초기값의 50%로 떨어지는데 걸리는 시간을 계산한다. Graph 16.2에서  $v_R$ 이 초기값의 50%로 떨어지는데 걸리는 시간을 계산한다. Table 16.7에 두 값을 모두 기록하고 비교한다.

## 회로분석

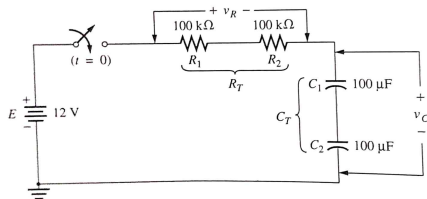


FIG. 16.2

12V가 공급되고 있고,  $100k\Omega$  저항 2개가 직렬로 연결되어 있고,  $100\mu F$  축전기 2개가 직렬로 연결되어 있다.

## 예상결과

Table 16.4

$R_T$	$C_T$	$\tau$	$5\tau$
$200k\Omega$	$50\mu F$	$10s$	$50s$

$$R_T = 100 + 100 = 200k\Omega$$

$$C_T = \frac{100\mu F \times 100\mu F}{100\mu F + 100\mu F} = 50\mu F$$

$$\tau = R_T C_T = 200k\Omega \times 50\mu F = 10s$$

Table 16.5

$t (s)$	0	5	10	15	20	25	30	35
$v_C (V)$	0	4.721632	7.585447	9.322438	10.37598	11.01498	11.40256	11.63763
$v_R (V)$	12	7.278368	4.414553	2.677562	1.624023	0.98502	0.597445	0.362369

$t (s)$	40	45	50	60	70	80	90	100
$v_C (V)$	11.78021	11.86669	11.91914	11.97025	11.98906	11.99597	11.99852	11.99946
$v_R (V)$	0.219788	0.133308	0.080855	0.029745	0.010943	0.004026	0.001481	0.000545

$$v_C = 12(1 - e^{-t/10}) (V) \text{에 } t=0s \sim 100s \text{ 대입하여 } v_C \text{ 계산}$$

$$v_R = 12 - v_C (V) \text{에 같은 시간에서의 } v_C \text{ 대입하여 계산.}$$

Graph 16.2

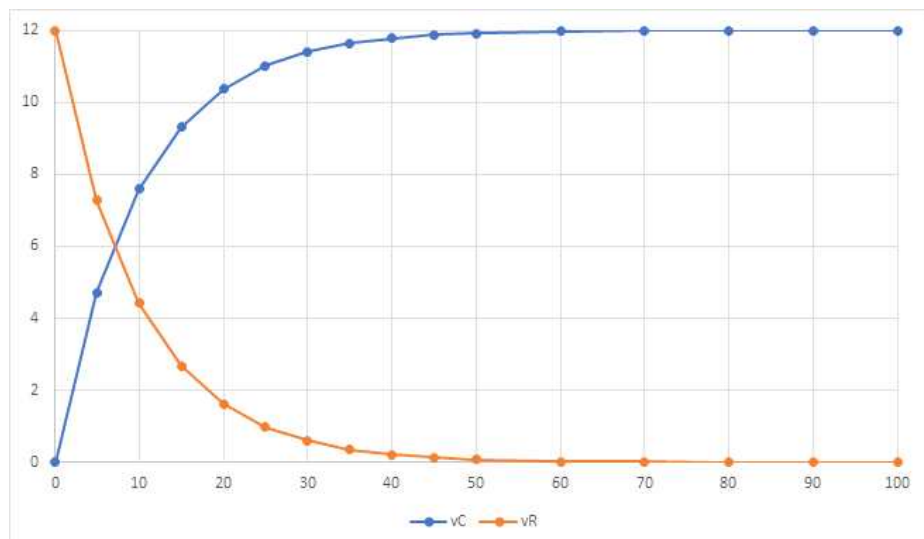


Table 16.6

	$1\tau$	$5\tau$
$v_C (V)$	7.585447	11.91914

$$12V \times 63.2\% = 7.584V$$

5 $\tau$  후에,  $v_C$ 는 이론적으로 12V에 매우 근접하고 값이 일정하므로 transient phase를 통과한 것과 같이 측정될 것이다.

$$(i) v_R = E - E(1 - e^{-t/\tau}) = E(e^{-t/\tau})(V)$$

Table 16.7

	t(50%-equation)	t(50%-graph)
$v_R$	6.931s	6.931s

$$6 = 12(e^{-t/10}), -t/10 = \ln(\frac{1}{2}), t = 10\ln(2) = 6.931s$$

위의 그래프는  $v_R = 12 - v_C (V) = E(e^{-t/\tau})$ 로 구한 것이므로 t(50%-equation)와 t(50%-graph)는 같은 값이다..

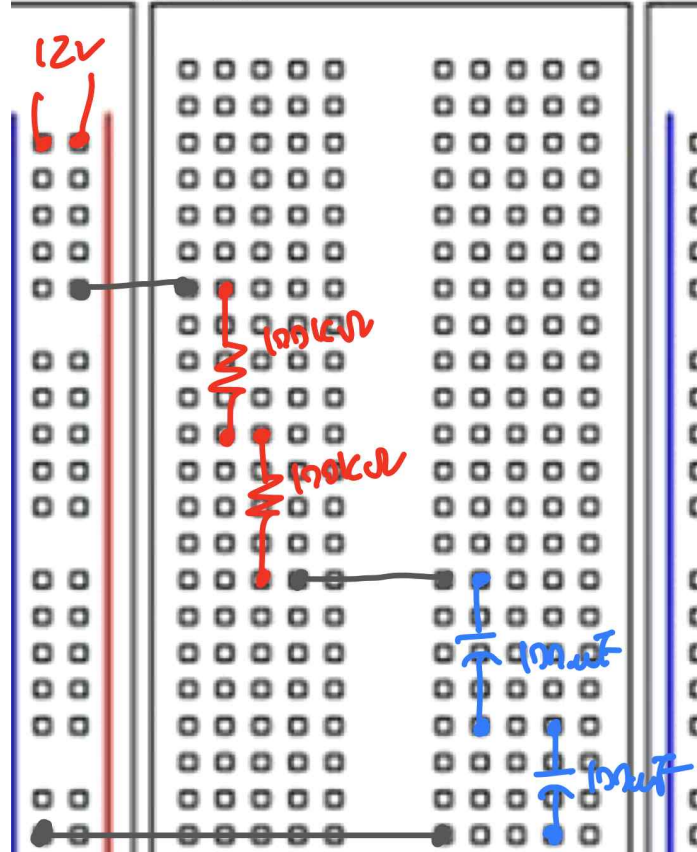
#### [4] 참고문헌

INTRODUCTORY CIRCUIT ANALYSIS / 12판 / Robert L. Boylestad, Gabriel Kousourou / 2015 / Pearson / 194~197p

#### [5] 회로결선도

2020.2.25 안준영  
Ch.16 - part (2)

2021-04-17



## <Part 2> Applying Thevenin's Theorem

### [3] 실험방법 및 예상결과

#### 실험방법

(a) Fig 16.3과 같이 회로를 구성하고 각 저항과 축전기의 측정값을 기록한다.

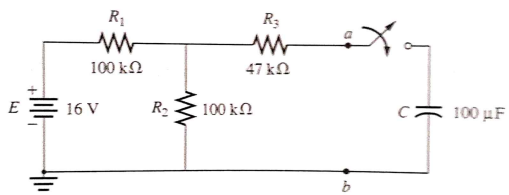


FIG. 16.3

(b) Thevenin 저항을 계산한다. Thevenin Voltage를 구한다. Table 16.8에 기록한다.

(c) Thevenin 등가 회로를 그린다.

(d)  $\tau, 5\tau$ 를 계산하고 Table 16.8에 기록한다.

(e)  $v_C$ 를 표현하는 수식을 구하고 1 $\tau$ 후의  $v_C$ 를 구하여 Table 16.9에 기록한다.

(f)  $\tau$ 후의  $v_C$ 를 측정하여 Table 16.9에 기록한다.

(g) Thevenin 등가 회로가 성립하는지 (e)와 (f)의 결과를 비교한다.

#### 회로분석

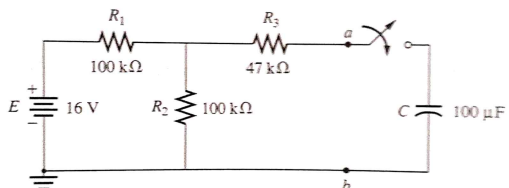


FIG. 16.3

16V가 공급되고 있고,  $100\text{k}\Omega$ 과, 직렬로 연결된  $47\text{k}\Omega$ 과  $100\mu\text{F}$  축전기가 병렬로 연결되어 있다. 그리고  $100\text{k}\Omega$ 이 직렬로 연결되어 있다.

#### 예상결과

Table 16.8

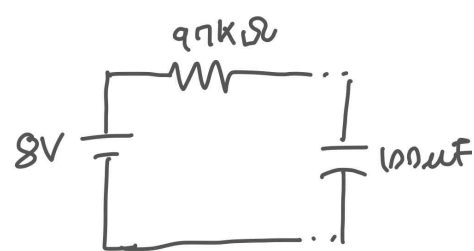
$R_{Th}$	$E_{Th}$	$1\tau$	$5\tau$
$97\text{k}\Omega$	8 V	9.7s	48.5s

축전기의 관점에서,  $47\text{k}\Omega$ 과, 병렬로 연결된 두  $100\text{k}\Omega$ 이 직렬로 연결되어 있다. 따라서  $R_{Th} = \frac{100 \times 100}{100 + 100} + 47 = 97\text{k}\Omega$ 이다.

$E_{Th}$ 는  $47\text{k}\Omega$ 에는 전압이 걸리지 않으므로,  $100\text{k}\Omega(R_2)$ 에 걸리는 전압과 같다. 따라서 VDR에 의하여

$$E_{Th} = \frac{100}{100 + 100} \times 16 = 8 \text{ V}$$

$$\tau = RC = 97\text{k}\Omega \times 100\mu\text{F} = 9.7\text{s}$$



Thevenin 등가회로는 위와 같이 그려진다.

Table 16.9

	$1\tau(\text{equation})$	$1\tau(\text{measured})$
$v_C$	5.057 V	

$$v_C (1\tau(\text{equation})) = 8(1 - e^{-9.7/9.7}) = 5.057 \text{ V}$$

$v_C (1\tau(\text{measured}))$ 는 Thevenin 등가회로가 성립하는 결과가 나오게 5.057V에 근접하게 측정될 것이다.

#### [4] 참고문헌

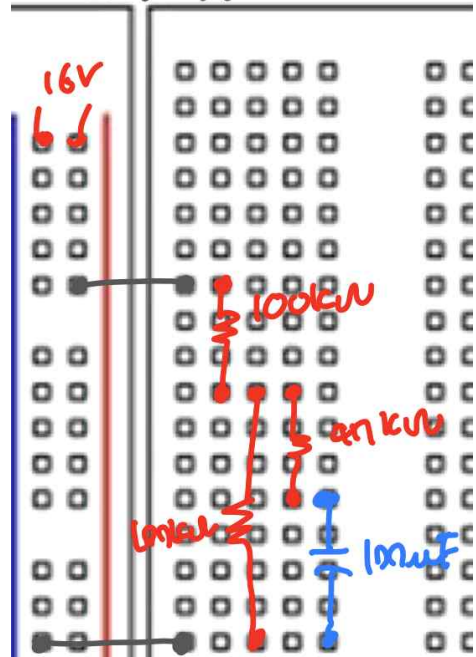
INTRODUCTORY CIRCUIT ANALYSIS / 12판 / Robert L. Boylestad, Gabriel Kousourou / 2015 / Pearson / 197~199p

#### [5] 회로결선도

2020.09.25 안준영

Ch.16 - part3

2021-04-17



## [1] 실험이론

### 1. 인덕터

인덕터는 커패시터와 같이 에너지를 저장하는 기능을 한다. 커패시터는 자기장에서 에너지를 축적하는 반면 인덕터는 전기장에서 에너지를 축적한다는 차이가 있다. 인덕터가 저장하는 에너지  $W = \frac{1}{2}Li^2$ 이다. 인덕턴스  $L$ 은  $\frac{\mu N^2 A}{l}$ 로 정의된다. ( $\mu$ : 투자율,  $N$ : 감은 횟수).

인덕터의 양단에 걸리는 전압은 패러데이 법칙에 의하여  $e = N\frac{d\Phi}{dt}$  ( $V$ )이다. 여기서,  $L = N\frac{d\Phi}{di_L}$ 이고, 최종적으로 인덕터 양단에 걸리는 전압은  $v_L = L\frac{di_L}{dt}$ 이 된다.

직렬로 연결된  $N$ 개의 인덕터는 저항과 같이  $L_T = L_1 + L_2 + \dots + L_N$ 로 총 인덕턴스를 구할 수 있다. 병렬로 연결된 총 인덕턴스는  $\frac{1}{L_T} = \frac{1}{L_1} + \frac{1}{L_2} + \dots + \frac{1}{L_N}$ 이다.

## [2] 실험장비

1. 저항( $470\Omega$ ,  $1k\Omega$ )
2. 인덕터( $10mH$ )
3. DMM
4. dc Power supply

### <Part 1> Series R-L dc Circuit

## [3] 실험방법 및 예상결과

### [실험방법]

(a) Fig 17.2와 같이 회로를 구성하고  $R_l$ ,  $R_l$ 을 측정하여 기록한다.  $R_l$ 은 인덕터의 저항. steady state에서의  $I$ ,  $V_L$ 을 계산한다.

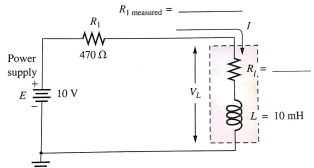


FIG. 17.2

(b)  $I$ ,  $V_L$ 을 구한다.  $V_L$ 은 직접 측정하고  $I$ 는  $470\Omega$  저항 양단에 걸리는 전압을 측정한 후 옴의 법칙으로 구한다.

옴의 법칙을 이용하여  $R_l = \frac{V_l}{I}$ 로 인덕터의 저항을 계산한다. 각 값을 Table 17.1에 기록한다.  $R_l$ 의 측정값과 계산값을 비교한다.

### [회로분석]

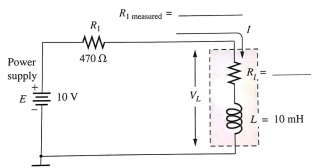


FIG. 17.2

10V가 공급되고 있고  $470\Omega$  저항과  $10mH$  인덕터가 직렬로 연결되어 있다.

[예상결과]

Table 17.1

	Calculated	Measured
$I$	$\frac{10}{470 + R_l}$	
$V_L$	$\frac{R_l}{47 + R_l} \times 10 \text{ (V)}$	
$R_l$	.	$\frac{V_L}{I}$

옴의 법칙에 의해  $I_{calculated} = \frac{10}{470 + R_l} \text{ (A)}$

VDR에 의하여  $V_{L calculated} = \frac{R_l}{47 + R_l} \times 10 \text{ (V)}$

[4] 참고문헌

INTRODUCTORY CIRCUIT ANALYSIS / 12판 / Robert L. Boylestad, Gabriel

Kousourou / 2015 / Pearson / 202~204p

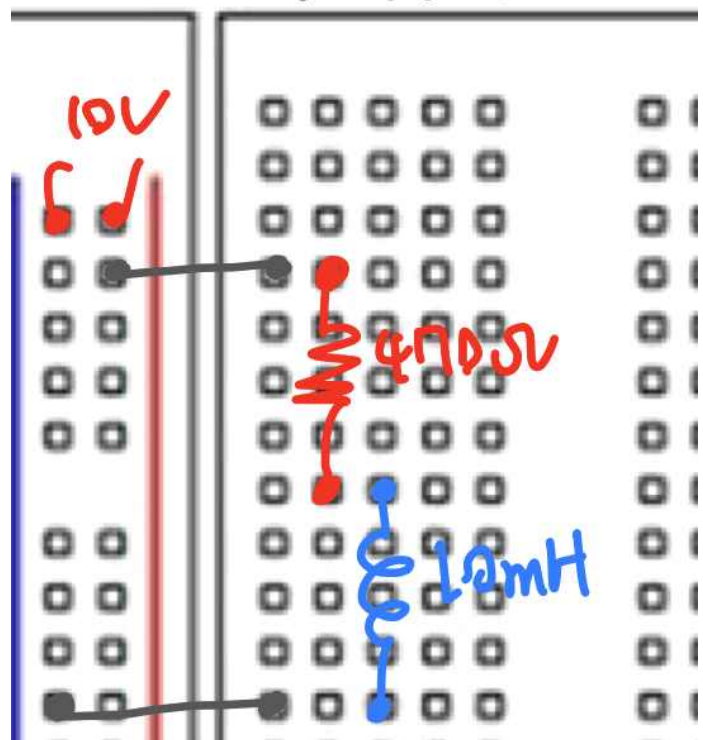
Introductory Circuit Analysis / 13판 / Robert L. Boylestad / 2016 / Pearson/ 498~499p, 504~506p, 521p

[5] 회로결선도

2020.2.25 안준영

Ch.17 - part 1

2021-04-17



## <Part 2> Parallel R-L dc Circuit

### [3] 실험방법 및 예상결과

#### [실험방법]

(a) Fig. 17.3과 같이 회로를 구성하고 각 저항의 측정값을 기록한다.  $I, I_1, I_2$ 를 계산한다 ( $R_l = 0\Omega$ 으로 가정하고).

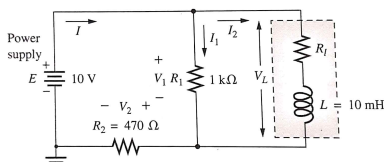


FIG. 17.3

(b)  $V_1, V_2$ 를 측정한다. 측정한 전압값과 저항값을 음의 법칙에 적용하여  $I = \frac{V_2}{R_2}$ ,  $I_1 = \frac{V_1}{R_1}$ 를 계산하고,  $I_2 = I - I_1$ 을 계산

한다. (a)와 (b)에서의 전류값들을 비교한다.

(c) 측정  $R_l$ 으로  $I_1$ 을 다시 계산한다. (a)에서의 계산값과 비교한다.

#### [회로분석]

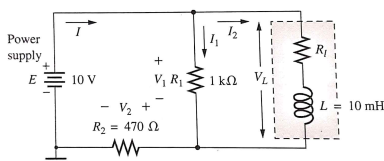


FIG. 17.3

10V가 공급되고 있고  $1k\Omega$ 과  $10mH$ 이 병렬로 연결되어 있고  $470\Omega$ 이 직렬로 연결되어 있다.

#### [예상결과]

Table 17.2

	Calculated	Measured
$I$	$21.3mA$	
$I_1$	$0$	
$I_2$	$21.3mA$	

$R_l = 0\Omega$ 이면, 인덕터 부분은 쇼트된 것과 같다. 따라서  $R_1$ 으로는 전류가 흐르지 않는다. 따라서  $I = \frac{10}{470} = 21.3mA$ 이다.

$I_1$ 은 0이다. KCL에 의하여  $I_2 = I = 21.3mA$ 이다.

$R_l = 0\Omega$ 이라고 가정하면,  $V_1 = 0V, V_2 = 10V$ 이다.

$$R_l \neq 0\Omega \text{이 아니라면 VDR에 의하여 } V_1 = \frac{\frac{1000 \times R_l}{1000 + R_l}}{\frac{1000 \times R_l}{1000 + R_l} + 470} \times 10(V) \text{이고, } V_2 = \frac{470}{\frac{1000 \times R_l}{1000 + R_l} + 470} \times 10(V) \text{이다.}$$

$$R_l \neq 0\Omega \text{이 아니라면 } I = \frac{10}{470 + \frac{1000 \times R_l}{1000 + R_l}} (A) \text{이고, CDR에 의해 } I_1 = I \times \frac{R_l}{1000 + R_l} (A) \text{이다.}$$

#### [참고문헌]

INTRODUCTORY CIRCUIT ANALYSIS / 12판 / Robert L. Boylestad, Gabriel

Kousourou / 2015 / Pearson / 204~205p

[회로결선도]

2020.10.25 안준영

Ch.17 - part2

2021-04-17

